

## ОПТИКА И СПЕКТРОСКОПИЯ

УДК 535.417.2:621.375.826

## УСТОЙЧИВОСТЬ НЕПЛОСКИХ РЕЗОНАТОРОВ КОЛЬЦЕВЫХ ЧИП-ЛАЗЕРОВ

Д. А. Алёшин, Н. В. Кравцов

(кафедра оптики и спектроскопии)

**В работе аналитически исследуется устойчивость неплоских резонаторов кольцевых чип-лазеров. Получены в явном виде выражения для областей устойчивости таких резонаторов.**

**Введение**

В последние годы все большее применение находят лазеры с объемными кольцевыми резонаторами, осевой контур которых не лежит в одной плоскости. Одной из разновидностей таких лазеров являются монолитные кольцевые лазеры (кольцевые чип-лазеры). Особенности применения и разработки как кольцевых чип-лазеров, так и твердотельных лазеров с диодной накачкой в целом обсуждаются в обзоре [1].

В настоящей работе рассматривается вопрос устойчивости кольцевых чип-лазеров, резонатор которых образован одним сферическим зеркалом и тремя плоскими зеркалами. Траектория лучей в подобном резонаторе изображена на рис. 1. Точка  $A$  отвечает отражению от сферического зеркала, а точки  $B$ ,  $C$  и  $D$  — полным внутренним отражениям на гранях кристалла.

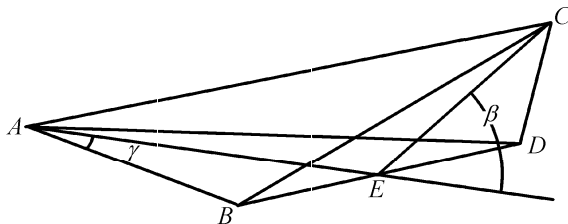


Рис. 1. Схема хода лучей в неплоском резонаторе кольцевого чип-лазера

В работе [2] описана методика расчета поляризационных характеристик подобных резонаторов, удобная для практического применения. Также достаточно хорошо изучены различные режимы генерации, реализуемые в подобных лазерах (см. ссылки к работе [1]). В данной работе рассматриваются вопросы устойчивости кольцевых чип-лазеров как с плоским, так и неплоским резонатором. Получены условия устойчивости таких резонаторов в удобном для практического применения виде, что, насколько нам известно, до этого не было проделано нигде.

Условия устойчивости резонаторов кольцевых чип-лазеров могут быть найдены так же, как в зеркальных резонаторах: с помощью матричного метода.

В общем случае резонатор описывается лучевой матрицей  $4 \times 4$  [3]

$$\hat{M} = \prod_{i=1}^N \hat{m}_i,$$

где матрицы  $\hat{m}_i$  определяют различные этапы распространения лучей в резонаторе.

В рамках гауссовой оптики, если ось оптической системы располагается в одной плоскости, можно рассматривать преобразование меридиональных проекций луча независимо. В таком случае чтобы учесть астигматизм, обусловленный сферическим зеркалом, необходимо вычисление двух матриц  $2 \times 2$ , описывающих характеристики резонатора в меридиональном и сагиттальном сечении пучка (в плоскости резонатора и перпендикулярной к ней). Соответствующие матрицы в нашем случае имеют вид [4]

$$\begin{aligned} \hat{M}_P &= \begin{bmatrix} A_P & B_P \\ C_P & D_P \end{bmatrix} = \hat{F}_P \hat{L} = \begin{bmatrix} 1 & 0 \\ -\frac{2}{R \cos \gamma} & 1 \end{bmatrix} \begin{bmatrix} 1 & d \\ 0 & 1 \end{bmatrix} = \\ &= \begin{bmatrix} 1 & d \\ -\frac{2}{R \cos \gamma} & 1 - \frac{2d}{R \cos \gamma} \end{bmatrix}, \end{aligned}$$

$$\begin{aligned} \hat{M}_S &= \begin{bmatrix} A_S & B_S \\ C_S & D_S \end{bmatrix} = \hat{F}_S \hat{L} = \begin{bmatrix} 1 & 0 \\ -\frac{2 \cos \gamma}{R} & 1 \end{bmatrix} \begin{bmatrix} 1 & d \\ 0 & 1 \end{bmatrix} = \\ &= \begin{bmatrix} 1 & d \\ -\frac{2 \cos \gamma}{R} & 1 - \frac{2 \cos \gamma}{R} \end{bmatrix}, \end{aligned}$$

где  $\gamma$  — внутренний угол падения луча на сферическое зеркало с радиусом кривизны  $R$ ,  $d$  — периметр резонатора.

Условие устойчивости плоского резонатора в общем случае запишется следующим образом [3]:

$$\begin{cases} -1 < \left[ \frac{1}{2}(A_P + D_P) \right] < 1, \\ -1 < \left[ \frac{1}{2}(A_S + D_S) \right] < 1. \end{cases}$$

Запишем условия устойчивости в частном случае кольцевого чип-лазера с плоским резонатором:

$$\begin{cases} 0 < \frac{d}{R \cos \gamma} < 2, \\ 0 < \frac{d \cos \gamma}{R} < 2. \end{cases} \Leftrightarrow d < 2R \cos \gamma.$$

### Расчет устойчивости неплоского кольцевого резонатора

Задача нахождения областей устойчивости чип-лазера с неплоским резонатором значительно усложняется из-за пространственного поворота изображения при обходе резонатора. В этом случае нельзя рассматривать преобразование меридиональных проекций луча независимо, и резонатор в целом будет описываться лучевой матрицей  $4 \times 4$ . Составляя лучевую матрицу резонатора, ищем такой лучевой вектор, который самовоспроизводится после полного обхода контура резонатора. В каждом сечении вектор характеризуется четырьмя параметрами — двумя координатами и двумя углами наклона к перпендикулярным плоскостям [3].

Итоговая матрица резонатора записывается следующим образом:

$$\hat{M} = \hat{F} \prod_{i=1}^4 \hat{\Gamma}_i, \quad \hat{\Gamma}_i = \hat{L}_i \hat{T}_i,$$

где  $\hat{L}_i$  — матрица трансляции на расстояние  $l_i$ ,  $\hat{T}_i$  — матрица поворота на угол  $\varphi_i$ ,  $\hat{F}$  — матрица отражения от сферического зеркала с радиусом кривизны  $R$ .

Эти матрицы имеют следующий вид:

$$\begin{aligned} \hat{L}_i &= \begin{bmatrix} 1 & l_i & 0 & 0 \\ 0 & 1 & 0 & 0 \\ 0 & 0 & 1 & l_i \\ 0 & 0 & 0 & 1 \end{bmatrix}, \\ \hat{T}_i &= \begin{bmatrix} \cos \varphi_i & 0 & \sin \varphi_i & 0 \\ 0 & \cos \varphi_i & 0 & \sin \varphi_i \\ -\sin \varphi_i & 0 & \cos \varphi_i & 0 \\ 0 & -\sin \varphi_i & 0 & \cos \varphi_i \end{bmatrix}, \\ \hat{F} &= \begin{bmatrix} \hat{F}_P & 0 \\ 0 & \hat{F}_S \end{bmatrix} = \begin{bmatrix} 1 & 0 & 0 & 0 \\ -\frac{2}{R \cos \gamma} & 1 & 0 & 0 \\ 0 & 0 & 1 & 0 \\ 0 & 0 & -\frac{2 \cos \gamma}{R} & 1 \end{bmatrix}. \end{aligned}$$

Принимая во внимание, что  $\hat{T}_i \hat{L}_j - \hat{L}_j \hat{T}_i = 0$ , матрица резонатора сводится к произведению трех стандартных матриц:

$$\hat{M} = \hat{F} \hat{L} \hat{T},$$

где  $\hat{L}$  — матрица трансляции на расстояние  $d$ , равное длине осевого контура резонатора,  $\hat{T}$  — матрица поворота на угол  $\varphi$ ,  $\varphi = \sum_{i=1}^4 \varphi_i$  — суммарный угол поворота плоскости изображения неплоским резонатором.

Произведение  $\hat{F} \hat{L}$  имеет вид

$$\hat{F} \hat{L} = \begin{bmatrix} \hat{M}_P & 0 \\ 0 & \hat{M}_S \end{bmatrix},$$

где  $\hat{M}_P$  и  $\hat{M}_S$  — двумерные матрицы, совпадающие с матрицами плоского резонатора.

Для нахождения собственных значений матрицы  $\hat{M}$  необходимо решить уравнение  $\det |\hat{M} - \lambda \hat{I}| = 0$ , где  $\hat{I}$  — единичная матрица.

В свою очередь собственные значения  $\lambda$  определяются следующим уравнением четвертой степени:

$$\lambda^4 - A\lambda^3 + B\lambda^2 - C\lambda + \det \hat{M} = 0, \quad (1)$$

где  $A = C = \text{Tr } \hat{M}$  — след матрицы  $\hat{M}$ ,  $\det \hat{M} = 1$ ,  $B$  — коэффициент при  $\lambda^2$ .

Преобразуем уравнение (1):

$$(\lambda + \lambda^{-1})^2 - A(\lambda + \lambda^{-1}) + B - 2 = 0, \quad (2)$$

где коэффициенты  $A$  и  $B$  записываются так:

$$B = 2 \left( 2 \cos^2 \varphi + 2 \frac{d^2}{R^2} - 2 \frac{d}{R} [\cos \gamma + 1/\cos \gamma] + 1 \right),$$

$$A = 2 \cos \varphi \left( 2 - \frac{d}{R} [\cos \gamma + 1/\cos \gamma] \right).$$

Известно, что в устойчивом резонаторе все собственные значения  $\lambda_k$  лучевой матрицы по модулю равны единице, поэтому корни характеристического уравнения могут быть представлены в виде

$$\exp(\pm i\theta_1), \quad \exp(\pm i\theta_2),$$

где  $\theta_1$  и  $\theta_2$  — действительные числа.

Если ввести обозначение  $\cos \theta = \frac{1}{2}(\lambda + \lambda^{-1})$ , то уравнение (2) можно переписать так:

$$\begin{aligned} \cos^2 \theta - \cos \theta \cos \varphi \left( 2 - \frac{d}{R} (\cos \gamma + 1/\cos \gamma) \right) + \\ + \cos^2 \varphi - \frac{d}{R} (\cos \gamma + 1/\cos \gamma) + \frac{d^2}{R^2} = 0. \end{aligned} \quad (3)$$

Резонатор устойчив, если оба решения квадратного уравнения для  $\cos \theta$  действительны и по модулю меньше единицы.

Введем следующие обозначения:

$$x = \cos \theta, \quad \xi = \cos \gamma + 1/\cos \gamma, \quad \chi = d/R, \quad y = \cos \varphi.$$

Нетрудно заметить, что  $\xi > 2$ ,  $\chi > 0$ ,  $-1 \leq \cos \varphi \leq 1$ . В новых обозначениях уравнение (3) перепишется в виде

$$x^2 + xy(2 - \chi\xi) + y^2 - \chi\xi + \chi^2 = 0. \quad (4)$$

Решая уравнение (4) относительно  $x$ , получим решение:

$$x_{1,2} = \frac{y(2 - \chi\xi) \pm \sqrt{D}}{2},$$

где  $D = y^2(2 - \chi\xi)^2 - 4(y^2 - \chi\xi + \chi^2)$ .

Условие действительности  $x_{1,2}$  запишется так:

$$\begin{cases} \chi > 0, \text{ если } y^2\xi^2 - 4 \geq 0, \\ \chi \leq -\frac{4\xi(1-y^2)}{y^2\xi^2-4}, \text{ если } y^2\xi^2 - 4 < 0. \end{cases}$$

Для нахождения областей устойчивости в явном виде необходимо решить следующие неравенства:  $-1 < x_{1,2} < 1$  (предполагается, что  $x_{1,2}$  — действительные числа).

Из четырех уравнений  $x_{1,2} = \pm 1$  найдем зависимость  $\chi$  от  $y$ . Уравнения  $x_{1,2} = -1$  дают пару решений  $\chi_{1,2} = \frac{\xi \pm \sqrt{\xi^2 - 4}}{2}(y + 1)$ , а  $x_{1,2} = 1$  дают  $\chi_{3,4} = \frac{\xi \pm \sqrt{\xi^2 - 4}}{2}(1 - y)$  (индексы 1 и 3 отвечают знаку «+», индексы 2 и 4 — знаку «-»). Введем обозначение  $\chi_5 = -\frac{4\xi(1-y^2)}{y^2\xi^2-4}$ . Считая значение  $\xi$  фиксированным, будем рассматривать  $\chi_i$ ,  $i = 1, 2, \dots, 5$ , как функции  $y$ . Исходя из этого можно получить, что при  $\xi \leq 4/\sqrt{3}$  ( $\gamma \leq \arccos(1/\sqrt{3})$ ) резонатор устойчив, если ( $\cup$  — знак объединения):

$$\begin{cases} \chi \in (0; \chi_4) \cup (\chi_1; \chi_5) \text{ при } |y| \in [0; \sqrt{1 - 4/\xi^2}], \\ \chi \in (0; \chi_4) \cup (\chi_3; \chi_2) \cup (\chi_1; \chi_5) \\ \text{при } |y| \in \left[ \sqrt{1 - 4/\xi^2}; \frac{\xi - \sqrt{\xi^2 - 4}}{\xi} \right], \\ \chi \in (0; \chi_4) \cup (\chi_3; \chi_2) \text{ при } |y| \in \left( \frac{\xi - \sqrt{\xi^2 - 4}}{\xi}; 1 \right], \end{cases} \quad (5)$$

а при  $\xi > 4/\sqrt{3}$

$$\begin{cases} \chi \in (0; \chi_4) \cup (\chi_1; \chi_5) \text{ при } |y| \in \left[ 0; \frac{\xi - \sqrt{\xi^2 - 4}}{\xi} \right], \\ \chi \in (0; \chi_4) \text{ при } |y| \in \left( \frac{\xi - \sqrt{\xi^2 - 4}}{\xi}; \sqrt{1 - 4/\xi^2} \right), \\ \chi \in (0; \chi_4) \cup (\chi_3; \chi_2) \text{ при } |y| \in \left[ \sqrt{1 - 4/\xi^2}; 1 \right]. \end{cases} \quad (6)$$

Также следует отметить, что при  $|y| = \frac{\xi - \sqrt{\xi^2 - 4}}{\xi}$  параметр  $\chi$  достигает своего максимального значения  $\chi_{\max} = 2 \frac{\xi^2 - 2\xi\sqrt{\xi^2 - 4} - 2\xi}{\xi(\xi^2 - \xi\sqrt{\xi^2 - 4} - 2\xi)}$ , а при  $|y| = \sqrt{1 - 4/\xi^2}$   $\chi_i = 2/\xi$  ( $i = 1, 2, \dots, 4$ ).

Схема хода лучей в неплоском резонаторе кольцевого чип-лазера представлена на рис. 1. Угол поворота поля определяется геометрией резонатора,

и в рассматриваемом случае выражается следующим образом:

$$\varphi = 2(\theta_{AB} + \theta_{BC}),$$

где  $\theta_{AB}$  и  $\theta_{BC}$  — углы между плоскостями падения в вершинах  $A$ ,  $B$  и  $B$ ,  $C$  [2].

Введем следующие обозначения:  $k = AE/CE$ ,  $q = \tan \gamma$ ,  $p = \cos \beta$ ,  $s = \left( \sqrt{1 + q^2} \sqrt{1 + k^2 q^2} \right)^{-1}$ , где  $\beta$  — угол неплоскости резонатора (угол между плоскостями  $ABD$  и  $BCD$ ).

Тогда с учетом введенных обозначений легко показать, что:

$$\begin{aligned} \theta_{AB} &= \arccos \left( \frac{kqs + pqs}{\sqrt{1 - (kq^2 s - ps)^2}} \right), \\ \theta_{BC} &= \arccos \left( \frac{qs + kpqs}{\sqrt{1 - (kq^2 s - ps)^2}} \right). \end{aligned} \quad (7)$$

## Обсуждение результатов

На рис. 2 в плоскости  $y\chi$  графически изображены диаграммы устойчивости неплоских кольцевых резонаторов для двух различных значений угла падения луча на сферическое зеркало. Области 1, 2, 3 и 4 в соответствии с условием (5) являются областями устойчивости. Во всех остальных случаях резонатор является неустойчивым.

Из проведенных расчетов видно, что конфигурация областей устойчивости в плоскости  $y\chi$  определяется только значением  $\gamma$ . Этот факт говорит о том, что подобные диаграммы универсальны для всех резонаторов с таким углом падения луча на сферическое зеркало. Точка в плоскости  $y\chi$  определяется следующим набором параметров резонатора:  $AE$ ,  $CE$ ,  $\beta$ ,  $\gamma$  и  $R$  (периметр резонатора  $d$  выражается через  $AE$ ,  $CE$ ,  $\gamma$  и  $\beta$ ). Из представленных диаграмм и условия (5) видно, что при заданных  $k$ ,  $\beta$  и  $\gamma$  (даные три параметра определяют угол поворота поля резонатором — см. (7)) можно подобрать такие значения  $d$  и  $R$ , что резонатор будет устойчив. В случае  $\xi > 4/\sqrt{3}$  ( $\gamma > \arccos(1/\sqrt{3})$ ) надо использовать условие устойчивости (6). Из этого условия видно, что при  $y \in \left[ \frac{\xi - \sqrt{\xi^2 - 4}}{\xi}; \sqrt{1 - 4/\xi^2} \right]$  существует всего одна область значений  $\chi$  вблизи нуля, при которых резонатор устойчив (рис. 2, б).

При  $\gamma \rightarrow 0$  области неустойчивости исчезают, что обусловлено уменьшением астигматизма сферического зеркала.

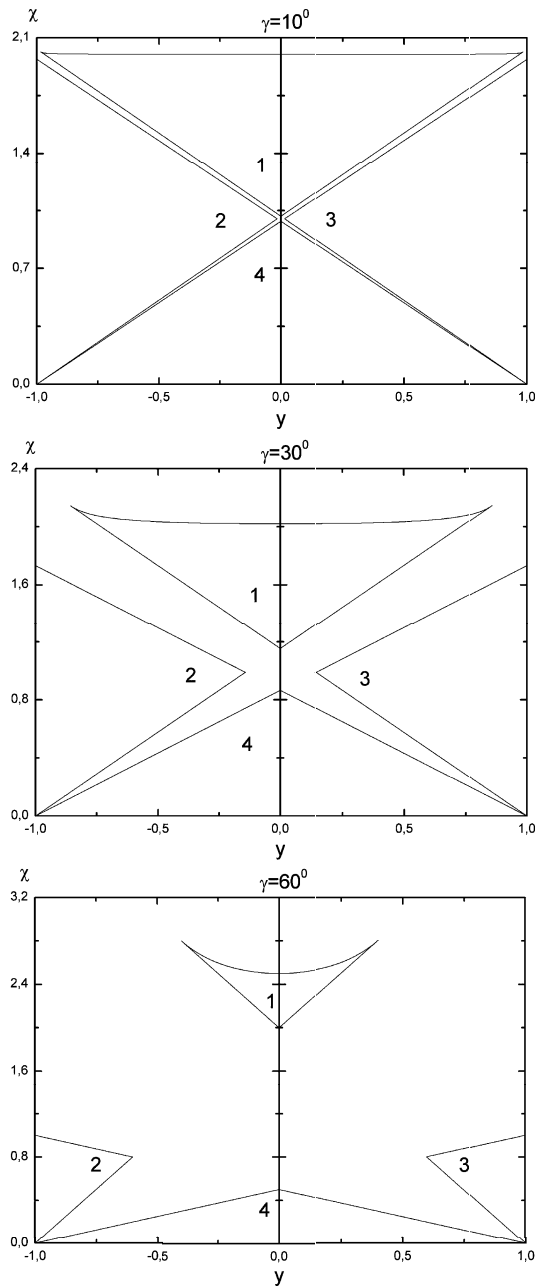


Рис. 2. Области устойчивости неплоского резонатора кольцевого чип-лазера: (а)  $\gamma = 10^\circ$ ; (б)  $\gamma = 30^\circ$ ; (в)  $\gamma = 60^\circ$

Еще один предельный случай — случай плоского резонатора ( $\beta = 0$ ). Данный случай отвечает нулевому углу поворота поля в резонаторе, т. е.  $y = 1$ . Условие устойчивости, получаемое для данного случая из условия (5) или (6), полностью совпадает с условием устойчивости плоского резонатора, которое было получено во введении ( $\xi - \sqrt{\xi^2 - 4} = 2 \cos \gamma$ ).

### Выводы

В результате расчета было обнаружено, что в плоскости  $yx$  (где  $y$  — косинус угла поворота поля в резонаторе, а  $\chi$  — отношение периметра резонатора к радиусу кривизны сферического зеркала) у рассматриваемых неплоских кольцевых резонаторов существуют области неустойчивости, которые необходимо учитывать при конструировании. Даные области неустойчивости уменьшаются по мере уменьшения угла  $\gamma$ , что связано с уменьшением астигматизма сферического зеркала.

Конфигурация областей устойчивости в плоскости  $yx$  определяется только значением угла  $\gamma$ . Таким образом, диаграмма устойчивости, построенная для данного значения  $\gamma$ , будет универсальной для всех резонаторов с таким углом падения луча на сферическое зеркало, как плоских, так и неплоских.

Работа выполнена при финансовой поддержке РФФИ (грант 02-02-16391).

### Литература

1. Кравцов Н.В. // Кvant. электроника. 2001. **31**, № 8. С. 661.
2. Nilsson A.C., Gustafson E.K., Byer R.L. // IEEE J. Quantum Electron. 1989. **25**, No. 4. P. 767.
3. Ищенко Е.Ф. Открытые оптические резонаторы. М., 1980.
4. Джеррард А., Берч Дж.М. Введение в матричную оптику. М., 1978.

Поступила в редакцию  
26.03.03